

01;05;10;11

## Распределение легких ионов по глубине при облучении мишени под скользящими углами падения

© В.В. Маринюк, В.С. Ремизович

Московский государственный инженерно-физический институт (технический университет),  
115409 Москва, Россия  
E-mail: remix@glasnet.ru

(Поступило в Редакцию 28 июня 1999 г.)

Аналитически рассчитана зависимость объемной плотности легких ионов от глубины при скользящем падении пучка на поверхность полубесконечного слоя вещества. Предполагалось, что взаимодействие ионов с атомами среды описывается обратно-степенными потенциалами ( $V(r) \sim r^{-1/\nu}$ ). Расчеты показали, что плотность числа ионов не является монотонной функцией, а достигает своего максимального значения на некоторой глубине внутри вещества. Чем медленнее потенциал взаимодействия спадает с увеличением  $r$  (т.е. чем больше параметр  $\nu$ ), тем отчетливее проявляется максимум плотности ионов и тем на больших глубинах этот максимум достигается. На больших глубинах плотность ионов убывает по степенному закону.

### Введение

При облучении мишени пучком ионов средних энергий под скользящими углами возникает ситуация, когда отраженный поток частиц формируется в основном ионами, испытавшими многократное малоугловое рассеяние. Проблема малоуглового отражения ионов была подробно изучена за последние десятилетия. О.Б. Фирсов, используя приближение Фоккера–Планка, аналитически рассчитал угловой спектр отраженных ионов (безотносительно к азимуту) в случае чисто упругого рассеяния [1,2]. Им был также определен угловой спектр отраженного излучения для обратноквадратичного потенциала взаимодействия ( $V(r) \sim r^{-2}$ ) без использования диффузионного приближения [3]. Впоследствии результаты Фирсова неоднократно обобщались. Так, в приближении Фоккера–Планка было вычислено распределение отраженных ионов как по обоим углам вылета (полярному и азимутальному) [4], так и по пройденному в веществе пути [5]. Наконец, в [6] была решена задача о нахождении углового спектра отраженного излучения (безотносительно к азимуту) при чисто упругом рассеянии ионов для обратно-степенных потенциалов взаимодействия ионов с атомами среды ( $V(r) \sim r^{-1/\nu}$ ) без использования приближения Фоккера–Планка.

Однако в таких проблемах, как распыление и образование дефектов в твердых телах, недостаточно знать распределение ионов только на границе мишени. Поскольку образование атомов отдачи происходит внутри вещества, то очень важна информация о распределении ионов по глубине, так как именно эта величина определяет плотность атомов отдачи, выбитых потоком ионов. До сих пор наиболее изученным в этой области является вопрос о распределениях затормозившихся в веществе ионов по пробегам и глубине проникновения [7]. Однако источниками образования дефектов служат не только остановившиеся, но и движущиеся частицы. В связи с этим возникает необходимость в получении новой

информации о глубинных распределениях ионов. Особый интерес здесь представляет случай скользящего падения пучка на поверхность мишени. Именно при скользящих углах падения ионов не применимо большинство существующих теорий распыления [8,9], так что аналитический расчет спектров распыленных атомов при скользящем падении ионов до сих пор остается актуальной задачей [10].

Несмотря на то что проблема отражения при скользящих углах падения исследована очень подробно, вопрос глубинной зависимости плотности частиц ранее практически не затрагивался. В настоящей работе аналитически рассчитана зависимость объемной плотности ионов от глубины, когда их взаимодействие с атомами среды описывается обратностепенными потенциалами ( $V(r) \sim r^{-1/\nu}$ ). Во избежание недоразумений подчеркнем, что под сосредоточенными в веществе частицами мы понимаем движущиеся ионы. Интересно отметить, что отношение числа ионов, движущихся в глубь среды, к числу ионов в восходящем потоке не зависит от глубины и определяется только значением параметра потенциала  $\nu$ . В ходе решения была найдена характерная глубина, на которой формируется отраженный поток частиц. При малых углах скольжения эта глубина оказывается много меньшей полного пробега ионов, что позволяет использовать при расчетах предположение о чисто упругом рассеянии ионов.

### Постановка задачи. Плотность потока ионов на произвольных глубинах

Пусть на поверхность полубесконечной однородной мишени, занимающей область пространства  $z \geq 0$  (ось  $z$  направлена по нормали к поверхности в глубь среды) падает широкий пучок ионов с начальной энергией  $T_0$  под углом  $\zeta_0$  к поверхности. Угол скольжения  $\zeta_0$  падающих ионов предполагается малым  $\zeta_0 \ll 1$ . Направление движения ионов определяется углами  $\zeta$  и

$\varphi$ , где  $\zeta$  — угол между вектором скорости ионов и границей вещества,  $\varphi$  — азимутальный угол (начальный азимут  $\varphi_0 = 0$ ). Нисходящему потоку ионов отвечают значения  $\zeta > 0$ , восходящему потоку — значения  $\zeta = -|\zeta| < 0$ . Рассеяние ионов средних энергий носит малоугловой характер  $\vartheta_{\text{эф}} \ll 1$  ( $\vartheta_{\text{эф}}$  — эффективный угол однократного рассеяния). Поэтому при скользящем падении ионов ( $\zeta_0 \ll 1$ ) углы  $\zeta$  и  $\varphi$  также будут малы [1–6, 11]. При рассмотрении процесса распространения легких ионов ( $M_1 \ll M_2$ , где  $M_1, M_2$  — масса иона и атома среды соответственно) можно пренебречь энергетическими потерями ионов при упругих столкновениях. Предположим, что ионизационными потерями ионов в веществе также можно пренебречь (ниже мы обсудим возможность такого пренебрежения). В этом случае уравнение переноса для плотности потока ионов  $N(\bar{z}, \zeta, \varphi)$  имеет вид [6]

$$\zeta \frac{\partial N(\bar{z}, \zeta, \varphi)}{\partial \bar{z}} = \int_{-\infty}^{\infty} d\varphi' \int_{-\infty}^{\infty} d\zeta' I_\nu((\zeta - \zeta')^2 + (\varphi - \varphi')^2) \times \{N(\bar{z}, \zeta', \varphi') - N(\bar{z}, \zeta, \varphi)\}, \quad (1)$$

$$N(\bar{z} = 0, \zeta > 0, \varphi) = N_0 \delta(\zeta - \zeta_0) \delta(\varphi);$$

$$N(\bar{z} \rightarrow \infty, \zeta, \varphi) \rightarrow 0. \quad (2)$$

Здесь  $N_0$  — плотность потока падающих ионов;  $\bar{z} = w_{el}(T_0)z$  — глубина, измеренная в единицах длины свободного пробега;  $w_{el}(T_0)$  — вероятность рассеяния иона с энергией  $T_0$  на единице пути;  $I_\nu(\gamma^2)$  — вероятность рассеяния иона в одном столкновении из состояния  $(\zeta', \varphi')$  в состояние  $(\zeta, \varphi)$ :  $\gamma^2 \approx (\zeta - \zeta')^2 + (\varphi - \varphi')^2$ . Как обычно в малоугловом приближении считается, что угловые переменные  $\zeta, \varphi$  изменяются в бесконечных пределах. Для  $I_\nu(\gamma^2)$  будем использовать следующее двухпараметрическое выражение [6]:

$$I_\nu(\cos \gamma) = \frac{\nu \vartheta_{\text{эф}}^{2\nu} (4 + \vartheta_{\text{эф}}^2)^\nu}{\pi [(4 + \vartheta_{\text{эф}}^2)^\nu - \vartheta_{\text{эф}}^{2\nu}] [\vartheta_{\text{эф}}^2 + 2(1 - \cos \gamma)]^{1+\nu}},$$

$$2\pi \int_0^\pi \sin \gamma I_\nu(\cos \gamma) d\gamma = 1. \quad (3a)$$

При резкоанизотропном рассеянии ( $\vartheta_{\text{эф}}, \gamma^2 \ll 1$ ) из (3a) имеем

$$I_\nu(\gamma^2) = \frac{1}{\pi} \frac{\nu \vartheta_{\text{эф}}^{2\nu}}{[\vartheta_{\text{эф}}^2 + \gamma^2]^{1+\nu}} \quad (\nu > 0),$$

$$2\pi \int_0^\infty \gamma I_\nu(\gamma^2) d\gamma = 1. \quad (3b)$$

Параметр  $\nu$  определяет быстроту спада вероятности рассеяния с увеличением угла  $\gamma$ . Резерфордскому рассеянию соответствует значение  $\nu = 1$ . В [6] было показано, что если  $\nu > 1$  (т.е.  $I_\nu(\gamma^2)$  спадает с ростом

$\gamma$  быстрее, чем  $\gamma^{-4}$ ), то результаты расчета совпадают с теми, которые получены в приближении Фоккера–Планка по угловым переменным. Если же  $0 < \nu < 1$  ( $I_\nu(\gamma^2)$  спадает с ростом  $\gamma$  медленнее, чем  $\gamma^{-4}$ ), то полученное выражение для углового спектра обратнорассеянных ионов существенно отличается от результатов расчета О.Б. Фирсова и в этом случае использование приближения Фоккера–Планка необосновано. Случай  $\nu = 0$  является особым. При  $\nu = 0$  нормировочный интеграл в (3b) для малоугловой индикатрисы рассеяния формально расходится на верхнем пределе. Это означает, что при таком значении параметра  $\nu$  малоугловое приближение практически не имеет области применимости и требует особого рассмотрения [12].

Параметр  $\vartheta_{\text{эф}}$  определяет степень анизотропии рассеяния. Если  $\nu < 1$ , то величина  $\vartheta_{\text{эф}}$  связана со средним квадратом угла однократного рассеяния соотношением

$$\langle \gamma^2 \rangle_\nu \approx 2 \langle 1 - \cos \gamma \rangle_\nu$$

$$\approx \frac{4\nu}{1-\nu} \left( \frac{\vartheta_{\text{эф}}}{2} \right)^{2\nu} \quad (0 < \nu < 1). \quad (4)$$

При малых значениях  $\vartheta_{\text{эф}}$  индикатриса (3b) описывает вероятность рассеяния на малые углы в обратностепенном потенциале  $V(r) \sim r^{-1/\nu}$  [6, 11].

В [6] с помощью метода собственных функций было получено простое аналитическое выражение для распределения отраженных ионов по полярному углу вылета (безотносительно к азимуту) в квазидиффузионном приближении ( $\zeta_0, |\zeta| \gg \vartheta_{\text{эф}}$ )

$$S_\nu(|\psi|) = |\zeta| \int_{-\infty}^{\infty} d\varphi N(\bar{z} = 0, -|\zeta|, \varphi)$$

$$= \frac{1 + 2\nu}{\pi(1 + \nu)} \frac{\sin(\pi\nu/(1 + \nu))}{2 \cos(\pi\nu/(1 + \nu)) + |\psi|^{\frac{1+2\nu}{1+\nu}} + |\psi|^{-\frac{1+2\nu}{1+\nu}}}. \quad (5)$$

Здесь  $S_\nu(|\psi|)$  — заинтегрированная по азимуту функция отражения ионов;  $|\psi| = |\zeta|/\zeta_0$  — приведенный угол отражения.

Величина  $S_\nu(|\psi|)d|\psi|$  есть число ионов, вылетающих в единицу времени с единицы поверхности среды в интервале углов  $|\psi| - |\psi| + d|\psi|$ . Для заинтегрированной по азимуту плотности потока ионов на произвольной глубине  $N(\bar{z}, \zeta)$  имеем

$$N(\bar{z}, \zeta) = \int_0^\infty \lambda C_\nu(\lambda) \exp(-\lambda^3 \bar{z}) \Phi_\lambda(\zeta) d\lambda. \quad (6)$$

Выражение (6) представляет собой разложение решения транспортного уравнения (1) при скользящих углах движения по полной ортонормированной системе собственных функций  $\Phi_\lambda(\zeta)$ . Собственные угловые функции  $\Phi_\lambda(\zeta)$  рассматриваемой задачи имеют вид [6]

$$\Phi_\lambda(\zeta) = \left( \sqrt{3}/\pi\lambda \right) \int_0^\infty d\omega \cos \left( \omega\zeta - \frac{a_\nu}{\lambda^3} \omega^{2\nu+1} \right),$$

$$a_\nu = \frac{1}{2\nu + 1} \frac{\Gamma(1 - \nu)}{\Gamma(1 + \nu)} \left( \frac{\vartheta_{\text{eff}}}{2} \right)^{2\nu}, \quad (7a)$$

$$\int_{-\infty}^{\infty} \Phi_\lambda(\zeta) \Phi_{\lambda'}(\zeta) \zeta d\zeta = \frac{1}{\lambda} \delta(\lambda - \lambda'). \quad (7b)$$

Здесь  $\Gamma(x)$  — гамма-функция Эйлера [13].

Используя условие ортогональности (7b) функций  $\Phi_\lambda(\zeta)$ , можно определить коэффициенты разложения  $C_\nu(\lambda)$

$$C_\nu(\lambda) = \zeta_0 \left\{ \Phi_\lambda(\zeta_0) - \int_0^{\infty} d|\psi| S_\nu(|\psi|) \Phi_\lambda(-\zeta_0|\psi|) \right\}, \quad (8)$$

где функция отражения  $S_\nu(|\psi|)$  определяется выражением (5).

Для нахождения явного вида коэффициентов разложения  $C_\nu(\lambda)$  удобно воспользоваться преобразованием Меллина [14]. В результате для  $C_\nu(\lambda)$  получаем

$$C_\nu(\lambda) = \frac{\pi\sqrt{3}}{\lambda} \int_C \frac{ds}{2\pi i} \left( \frac{a_\nu}{\zeta_0^{2\nu+1} \lambda^3} \right)^{-s} \times \frac{1}{\Gamma(1-s)\Gamma((2\nu+1)s) \sin(\pi(\nu+1)s)}. \quad (9)$$

Интегрирование в (9) ведется по любой прямой, лежащей в полосе аналитичности подынтегрального выражения  $-(1+\nu)^{-1} < \text{Re } s < (1+\nu)^{-1}$ . Таким образом, по формулам (6), (7b), (9) можно определить заинтегрированную по азимуту плотность потока ионов  $N(\tilde{z}, \zeta)$  на произвольной глубине внутри вещества.

## Распределение ионов по глубине

Вычисление пространственно-углового распределения ионов  $N(\tilde{z}, \zeta)$  на произвольной глубине представляет собой трудновыполнимую задачу. Однако, как отмечалось выше, в некоторых случаях достаточно знать распределение только ионов по глубине безотносительно к направлению их движения, т.е. объемную плотность числа ионов (далее просто плотность ионов)

$$\rho(\tilde{z}) = \int_{-\infty}^{\infty} d\zeta f(\tilde{z}, \zeta). \quad (10)$$

Функция распределения ионов  $f(\tilde{z}, \zeta)$  связана с плотностью потока  $N(\tilde{z}, \zeta)$  соотношением  $N(\tilde{z}, \zeta) = v_0 f(\tilde{z}, \zeta)$ , где  $v_0$  — скорость ионов [15].

Разделим все ионы на те, которые движутся в глубь среды (нисходящий поток), и те, которые движутся обратно, в сторону границы вещества (восходящий поток). Тогда плотность ионов на глубине  $\tilde{z}$  можно представить в следующем виде:

$$\rho(\tilde{z}) = \rho_+(\tilde{z}) + \rho_-(\tilde{z}). \quad (11)$$

Величины  $\rho_+(\tilde{z})$  и  $\rho_-(\tilde{z})$  определяют распределение по глубине плотности ионов в нисходящем и восходящем потоках соответственно

$$\begin{aligned} \rho_\pm(\tilde{z}) &= v_0^{-1} \int_0^{\infty} d\zeta N(\tilde{z}, \pm\zeta) \\ &= N_0 v_0^{-1} \int_0^{\infty} \lambda C_\nu(\lambda) \exp(-\lambda^3 \tilde{z}) d\lambda \int_0^{\infty} \Phi_\lambda(\pm\zeta) d\zeta. \end{aligned} \quad (12)$$

Подставляя в (12) выражение (7a) для собственных функций  $\Phi_\lambda(\pm\zeta)$  следует иметь в виду, что перестановка порядка интегрирования по переменным  $\omega$  и  $\zeta$  недопустима. Поэтому поступим следующим образом. Умножим функции  $\Phi_\lambda(\pm\zeta)$ , определенные равенством (7a), на  $\exp(-\zeta\delta)$  и проинтегрируем по  $\zeta$  от нуля до бесконечности, меняя местами порядок интегрирования по  $\omega$  и  $\zeta$ . Затем переходя к пределу  $\delta \rightarrow +0$  под знаком интеграла по  $\omega$ , окончательно получим

$$\int_0^{\infty} d\zeta \Phi_\lambda(\pm\zeta) = \frac{\sqrt{3}}{2\lambda} \left( 1 \pm \frac{1}{1\nu+1} \right). \quad (13)$$

Из (13) и (12) с учетом (11) для величин  $\rho(\tilde{z})$ ,  $\rho_+(\tilde{z})$ ,  $\rho_-(\tilde{z})$  находим

$$\rho(\tilde{z}) = \sqrt{3} N_0 v_0^{-1} \int_0^{\infty} d\lambda C_\nu(\lambda) \exp(-\lambda^3 \tilde{z}), \quad (14)$$

$$\rho_+(\tilde{z}) = \frac{\nu+1}{2\nu+1} \rho(\tilde{z}),$$

$$\rho_-(\tilde{z}) = \frac{\nu}{2\nu+1} \rho(\tilde{z}) \quad (0 < \nu \leq 1). \quad (15)$$

Таким образом, на любой глубине плотность ионов в восходящем потоке в  $(\nu+1)/\nu$  раз меньше плотности ионов в нисходящем потоке. Отношение  $\rho_-(\tilde{z})/\rho_+(\tilde{z})$  не зависит от глубины и с уменьшением параметра  $\nu$  монотонно убывает от 1/2 при  $\nu = 1$  до нуля при  $\nu \rightarrow 0$ .

Используя явный вид коэффициентов разложения  $C_\nu(\lambda)$  (9), по формуле (14) нетрудно найти глубинную зависимость плотности ионов

$$\begin{aligned} \rho(\tau) &= \pi \rho_0 \int_C \frac{ds}{2\pi i} \tau^{-s} \\ &\times \frac{\Gamma(s)}{\Gamma(1-s)\Gamma((2\nu+1)s) \sin(\pi(\nu+1)s)}, \end{aligned} \quad (16)$$

где

$$\begin{aligned} \tau &= \frac{a_\nu \tilde{z}}{\zeta_0^{2\nu+1}} = \frac{\Gamma(1-\nu)}{(2\nu+1)\Gamma(1+\nu)} \left( \frac{\vartheta_{\text{eff}}}{2} \right)^{2\nu} \frac{w_{el}(T_0)z}{\zeta_0^{2\nu+1}}, \\ \rho_0 &= \frac{N_0}{v_0} \end{aligned} \quad (17)$$

( $\rho_0$  — плотность ионов в падающем пучке,  $[\rho_0] = \text{cm}^{-3}$ ).

Интегрирование в (16) ведется в комплексной плоскости по любой прямой, параллельной мнимой оси в полосе  $0 < \text{Re } s < (\nu + 1)^{-1}$ . Как видно из (16), рассматриваемая задача обладает свойством автомодельности: все параметры задачи (кроме  $\nu$ ) объединились в одну приведенную глубину  $\tau$ , от которой и зависит плотность ионов. Приведенную глубину (17) с учетом (4) можно представить в виде

$$\tau = \frac{\Gamma(2 - \nu)}{\nu(2\nu + 1)\Gamma(1 + \nu)} \frac{\langle \Theta_s^2(T_0) \rangle z}{4\zeta_0^{2\nu+1}}, \quad (18)$$

( $\langle \Theta_s^2(T_0) \rangle = w_{el}(T_0) \langle \gamma^2 \rangle$  — средний квадрат угла рассеяния иона с энергией  $T_0$  на единице длины).

Анализ выражений (16)–(18) показывает, что единственным параметром задачи, имеющим размерность длины, является величина

$$z_r \sim \zeta_0^{2\nu+1} / \langle \Theta_s^2(T_0) \rangle \sim \zeta_0^{2\nu+1} l_{tr}, \quad (19)$$

которая представляет собой характерную глубину, на которой формируется отраженный поток ионов ( $l_{tr} \approx 2 / \langle \Theta_s^2(T_0) \rangle$ ) — транспортная длина упругого рассеяния [15]).

Из (16) нетрудно получить асимптотические выражения для плотности ионов на малых и больших глубинах. Все полюса подынтегральной функции в (16) расположены на действительной оси. Поэтому можно деформировать контур интегрирования так, чтобы он при этом не пересекал полюсов. Загибая контур влево и используя теорему о вычетах, можно получить разложение  $\rho(\tau)$  в виде обобщенного степенного ряда по положительным степеням  $\tau$ . Если же контур интегрирования загнуть вправо, то мы получим разложение  $\rho(\tau)$  по отрицательным степеням  $\tau$ . Как видно из (16), плотность ионов на малых глубинах ( $\tau \ll 1$ ) определяется вычетами подынтегральной функции в полюсах  $s = 0$ ,  $s = -(1 + \nu)^{-1}$ , а на больших глубинах ( $\tau \gg 1$ ) вычетом в полюсе  $s = (1 + \nu)^{-1}$ . Поэтому

$$\rho(\tau) \approx \rho_0 \begin{cases} \left[ \frac{2\nu+1}{\nu+1} + (2\nu+1)\Gamma\left(\frac{2\nu+1}{\nu+1}\right) \times \left[ \Gamma\left(\frac{1}{\nu+1}\right) \right]^{-2} \tau^{-\frac{1}{\nu+1}}, & \tau \ll 1, \\ \frac{1}{\nu} \Gamma\left(\frac{1}{\nu+1}\right) \left[ \Gamma\left(\frac{\nu}{\nu+1}\right) \right]^{-2} \tau^{-\frac{1}{\nu+1}}, & \tau \gg 1. \end{cases} \quad (20)$$

Таким образом, если параметр  $0 < \nu \leq 1$ , то плотность ионов у границы вещества растет с глубиной, причем рост  $\rho(\tau)$  тем быстрее, чем больше величина  $\nu$ . На больших глубинах плотность ионов убывает тем быстрее, чем меньше значение  $\nu$ . Такое поведение плотности ионов можно объяснить следующим образом. При стационарном облучении мишени в случае чисто упругого рассеяния число ионов, упавших на единицу площади поверхности в единицу времени, равно числу вылетевших ионов (полный коэффициент отражения равен единице [6,15]). Перед тем, как вылететь из среды, ионы должны испытать многократное рассеяние, чтобы

развернуться в сторону границы мишени. Для этого им необходимо пройти в веществе некоторый путь, т. е. проникнуть на определенную глубину. Поэтому основная масса ионов будет сосредоточена не на поверхности среды, а на некоторой глубине.

Быстрота роста на малых и спада на больших глубинах величины  $\rho(\tau)$  зависит от параметра  $\nu$ . Чем больше величина  $\nu$ , тем анизотропнее однократное рассеяние. Следовательно, чем меньше  $\nu$ , тем ионам легче рассеиваться на большие углы и тем быстрее они разворачиваются в сторону границы и покидают среду. Поэтому с уменьшением величины  $\nu$  плотность ионов  $\rho(\tau)$  медленнее растет на малых глубинах и быстрее убывает на больших.

В заключение этого раздела необходимо отметить следующее обстоятельство. Пренебрежение ионизационными потерями ионов допустимо до тех пор, пока путь, пройденный ионами в среде, меньше полного пробега  $R_0$ . Поэтому нужно потребовать, чтобы характерная глубина рассматриваемой задачи  $z_r$  (19) была много меньше глубины  $\zeta_0 R_0$ , достигая которой ионы теряют значительную часть своей энергии, т. е. должно выполняться следующее неравенство:

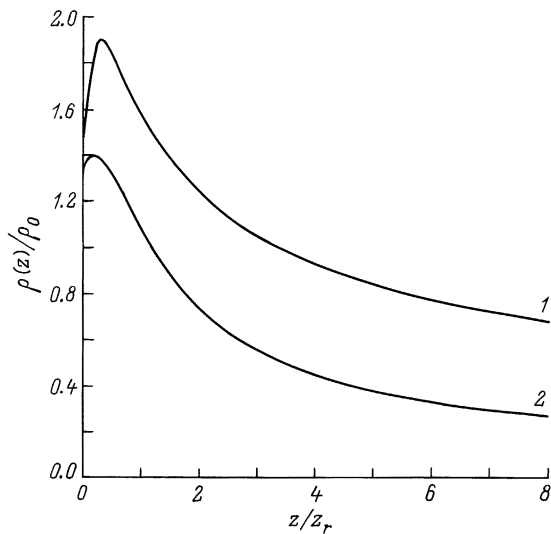
$$\frac{\langle \Theta_s^2(T_0) \rangle R_0}{\zeta_0^{2\nu}} \gg 1. \quad (21)$$

При выполнении условия (21) плотность ионов  $\rho(\tau)$  успевает выйти на свою асимптотику ( $\tau \gg 1$ , т. е.  $z \gg z_r$ ) на глубинах, на которых еще можно пренебречь торможением ионов. Возможность пренебрежения неупругими потерями энергии ионов при вычислении спектров отраженного излучения в приближении Фоккера–Планка ( $\nu = 1$ ) обсуждалась в [5]. Было показано, что при  $\langle \Theta_s^2(T_0) \rangle R_0 / \zeta_0^2 \gg 1$  основной вклад в отраженное излучение дают ионы, испытавшие чисто упругое рассеяние. Таким образом, неравенство (21) является обобщением этого условия на обратно-степенные потенциалы взаимодействия, спадающие быстрее кулоновского.

## Глубинное распределение ионов для некоторых обратно-степенных потенциалов взаимодействия

Рассмотрим некоторые частные значения параметра  $\nu$ , когда для плотности ионов  $\rho(\tau)$  удастся получить более простые представления. Значение  $\nu = 1/2$  соответствует взаимодействию, описываемому обратноквадратичным потенциалом Фирсова ( $V(r) \sim r^{-2}$ ). В этом случае выражение (16) нетрудно преобразовать к виду

$$\rho_{\nu=1/2}(\tau) = 2\sqrt{\pi}\rho_0 \int_C \frac{ds}{2\pi i} (4\tau)^{-s} \times \frac{\Gamma(s)}{\Gamma(s+1/2)} \frac{\sin \pi s}{\sin(3\pi s/2)}. \quad (22)$$



Зависимости плотности ионов от глубины для двух значений параметра  $\nu$ . Глубина измерена в единицах  $z_r = \zeta_0^{2\nu+1} / \langle \Theta_s^2(T_0) \rangle$ ;  $\nu = 1$  (1),  $1/2$  (2).

Подынтегральное выражение представляет собой произведение двух функций  $[\Gamma(s)/\Gamma(s + 1/2)]$  и  $[\sin \pi s / \sin(3\pi s/2)]$ , для каждой из которых обращение Меллина известно [16]. Поэтому интеграл (22) по теореме о свертке для преобразования Меллина можно записать в виде

$$\rho_{\nu=1/2}(\tau) = \frac{2\rho_0}{\pi\sqrt{3}} \int_0^1 \frac{dx}{x\sqrt{1-x}} \times \frac{1}{(x/4\tau)^{2/3} + (4\tau/x)^{2/3} - 1}. \quad (23)$$

Приведенная глубина (18) при  $\nu = 1/2$  равна  $\tau = \langle \Theta_s^2(T_0) \rangle z / 4\zeta_0^2$ .

Еще одно значение параметра  $\nu$ , когда интеграл (16) допускает упрощение, — это  $\nu = 1$ . В этом случае индикатриса (3b) определяет вероятность однократного рассеяния в кулоновском потенциале ( $V(r) \sim r^{-1}$ ). При  $\nu = 1$  плотность ионов (16) удобно представить в виде

$$\rho_{\nu=1}(\tau) = \sqrt{3}\rho_0 \int_c \frac{ds}{2\pi i} (27\tau)^{-s} \times \Gamma(s) \frac{\Gamma(s+1/2)\Gamma(1/2-s)}{\Gamma(s+1/3)\Gamma(s+2/3)}. \quad (24)$$

Поскольку обращение Меллина от функций  $\Gamma(s + 1/2)\Gamma(1/2 - s)[\Gamma(s + 1/3)\Gamma(s + 2/3)]^{-1}$  и  $\Gamma(s)$  являются табличными [14], то по теореме о свертке для  $\rho_{\nu=1}(\tau)$  получим

$$\rho_{\nu=1}(\tau) = \rho_0 \int_0^\infty \frac{dx}{x} \exp\left(-\frac{27\tau}{x}\right) \frac{1}{\sqrt{x}} \times \left\{ J_{1/3}\left(\frac{2}{\sqrt{x}}\right) + J_{-1/3}\left(\frac{2}{\sqrt{x}}\right) \right\}, \quad (25)$$

где

$$J_\alpha(t) = \pi^{-1} \int_0^\pi d\Theta \cos(\alpha\Theta - t \sin \Theta)$$

— функция Ангера [13].

Подставляя интегральное представление для функции Ангера в (25) и меняя порядок интегрирования, находим для плотности ионов  $\rho_{\nu=1}(\tau)$  следующее выражение:

$$\rho_{\nu=1}(\tau) = \frac{2\rho_0}{3\sqrt{3}\pi\tau} \int_0^\pi d\Theta \cos(\Theta/3) \times \exp\left\{-\frac{\sin^2 \Theta}{27\tau}\right\}. \quad (26)$$

В случае  $\nu = 1$  приведенная глубина (18) равна  $\tau = \langle \Theta_s^2(T_0) \rangle z / 12\zeta_0^3$ .

На рисунке представлена зависимость плотности ионов (23) и (26) от глубины, измеренной в единицах  $\zeta_0^{2\nu+1} / \langle \Theta_s^2(T_0) \rangle$ , для двух значений параметра  $\nu = 1$  и  $\nu = 1/2$ . Как видно, с уменьшением параметра  $\nu$  максимум распределения становится менее выраженным и сдвигается в область меньших глубин. Такое поведение плотности ионов объясняется, как и прежде, тем, что при меньших значениях параметра  $\nu$  ионы быстрее разворачиваются в сторону границы и вылетают обратно из среды.

Таким образом, характер глубинной зависимости плотности ионов следующий. На малых глубинах ( $z \ll z_r$ ) число ионов, сосредоточенных в веществе, растет, затем достигает максимального значения при  $z \sim z_r$  и при  $z \gg z_r$  убывает с глубиной степенным образом. На глубинах  $z \sim \zeta_0 R_0$  выражение (16) для плотности ионов становится непригодным, поскольку не учитывает энергетических потерь ионов. При  $z > \zeta_0 R_0$  зависимость плотности ионов от глубины будет определяться существенным образом ионизационным торможением.

### Список литературы

- [1] Фирсов О.Б. // ДАН СССР. Физика. 1966. Т. 169. С. 1311.
- [2] Фирсов О.Б. // ФТТ. 1967. Т. 9. С. 2145.
- [3] Фирсов О.Б. // ЖТФ. 1970. Т. 40. Вып. 1. С. 83.
- [4] Ремизович В.С., Тилинин И.С. // ЖТФ. 1980. Т. 50. С. 1524.
- [5] Ремизович В.С., Тилинин И.С., Рязанов М.И. // ЖЭТФ. 1980. Т. 79. Вып. 2(8), С. 448.
- [6] Ремизович В.С. // ЖЭТФ. 1984. Т. 87. Вып. 2(8). С. 506.
- [7] Эжитайн В. Компьютерное моделирование взаимодействия частиц с поверхностью твердого тела. М.: Мир, 1995. 321 с.
- [8] Распыление твердых тел ионной бомбардировкой / Под ред. Р. Бериша. М.: Мир, 1984. 336 с.
- [9] Фундаментальные и прикладные аспекты распыления твердых тел. Сб. статей. М.: Мир, 1989. 349 с.
- [10] Машкова Е.С., Молчанов В.А. // Поверхность. 1995. № 3. С. 5.

- [11] Курнаев В.А., Машкова Е.С., Молчанов В.А. Отражение легких ионов от поверхности твердого тела. М.: Энергоатомиздат, 1985. 192 с.
- [12] Sigmund P. // Phys. Rev. 1969. Vol. 184. N 2. P. 383.
- [13] Бейтмен Г., Эрдейи А. Высшие трансцендентные функции. М.: Наука, 1973, 1974. Т. 1,2. 296 с.
- [14] Маричев О.И. Метод вычисления интегралов от специальных функций (теория и таблицы формул). Минск: Наука и техника, 1978. 312 с.
- [15] Калашиников Н.П., Ремизович В.С., Рязанов М.И. Столкновения быстрых заряженных частиц в твердых телах. М.: Атомиздат, 1980. 272 с.
- [16] Бейтмен Г., Эрдейи А. Таблицы интегральных преобразований. М.: Наука, 1968. Т. 1. 344 с.